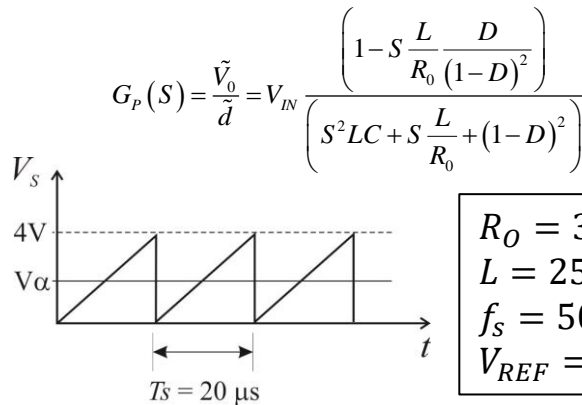


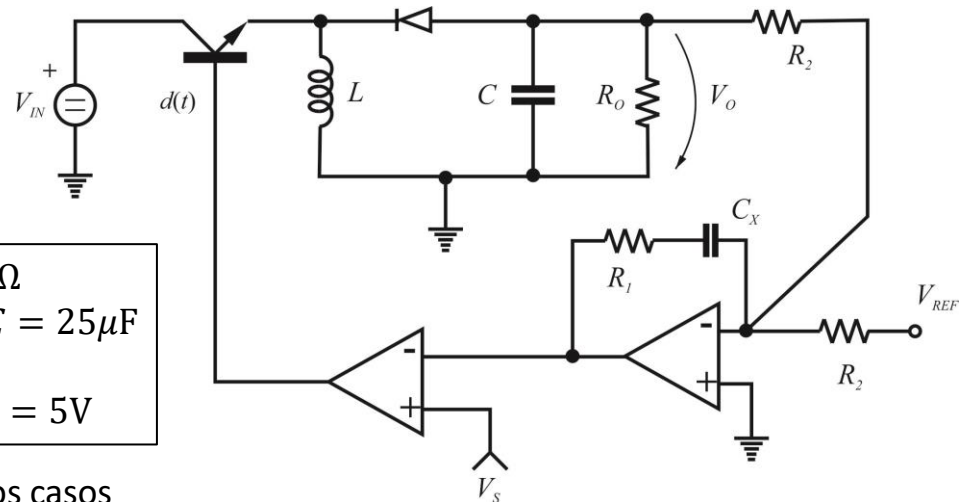
Sistemas de Control

Guía Nº 7: CONVERTIDORES DC/DC / MODELO PROMEDIADO DE ESTADOS

Ejercicio Nº4: Considere el convertidor flyback de la figura, cuya función de transferencia respecto de la variable de control esta dada por:

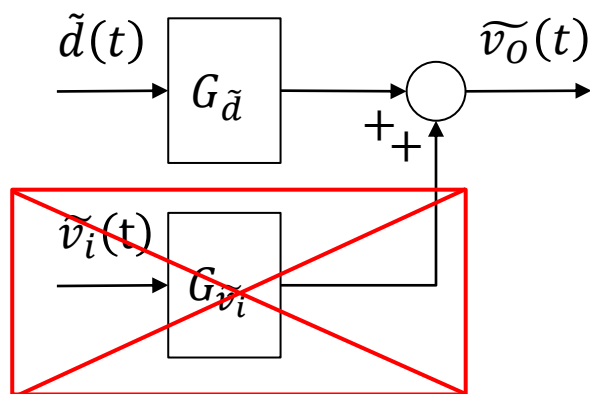
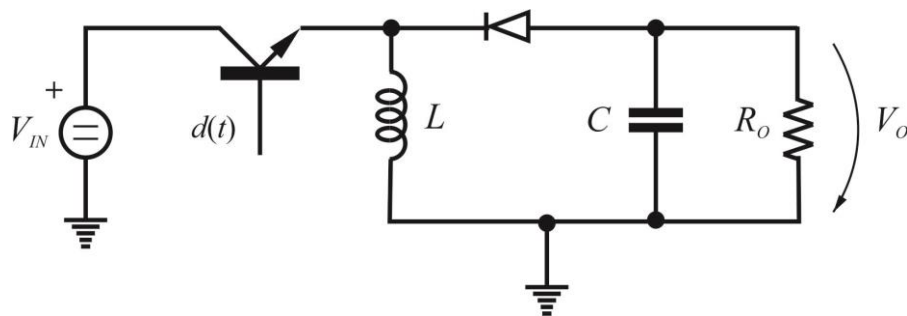


$$\begin{aligned} R_o &= 3\Omega \dots 30\Omega \\ L &= 250\mu H \quad C = 25\mu F \\ f_s &= 50kHz \\ V_{REF} &= 5V \quad V_{IN} = 5V \end{aligned}$$



- Verificar que se cumple CCM para todos los casos
- Dibujar un diagrama en bloques para el lazo de control, sin considerar la entrada de perturbación de la fuente, identificando claramente Gc, H, GMOD y Gp.
- Graficar el diagrama de Bode de Gp para los valores extremos de R0, indicando los valores notables de frecuencia y amplitud en cada caso.
- Compensar el convertidor, calculando R1, R2 y CX, a fin de obtener máximo ancho de banda y rechazo en GH(s), con un margen de fase de aproximadamente 45°. Dibujar el diagrama de Bode. Nota: Se sugiere agregar una red de amortiguación en el convertidor.

Modelado del convertidor de potencia:

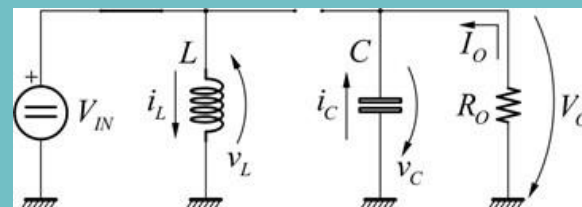


$$v_i(t) = V_{IN}:cte$$

$$G_{\tilde{d}}(s) = \frac{\tilde{v}_o}{\tilde{d}} = \frac{V_{IN}}{(1-D)^2} \frac{\left(1 - s \frac{L}{R_o} \frac{D}{(1-D)^2}\right)}{\left(1 + s \frac{L}{(1-D)^2 R_o} + s^2 \frac{LC}{(1-D)^2}\right)}$$

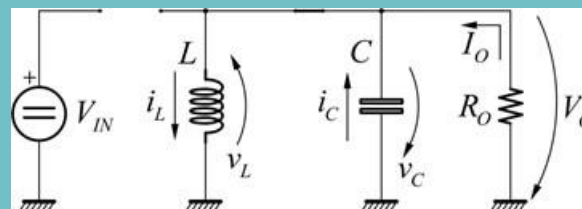
Modelo promediado de estados

Estado ON



$$\frac{di_L}{dt}, \frac{dv_C}{dt} \downarrow A_1, B_1, C_1$$

Estado OFF



$$\frac{di_L}{dt}, \frac{dv_C}{dt} \downarrow A_2, B_2, C_2$$

$$A = D \cdot A_1 + (1 - D) \cdot A_2$$

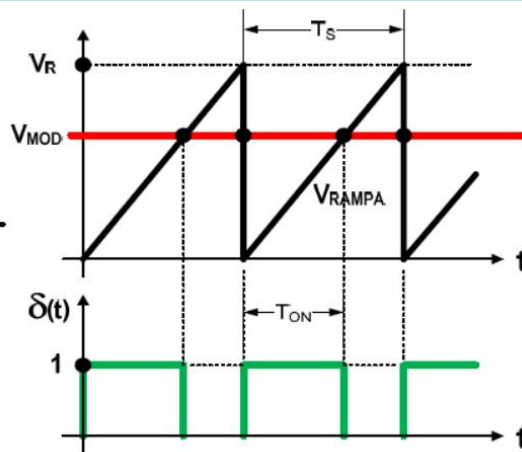
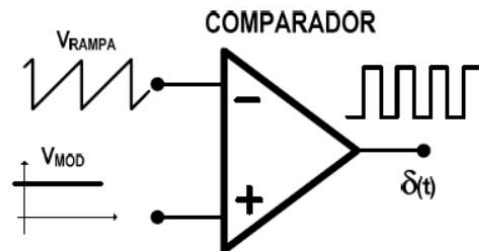
$$B = D \cdot B_1 + (1 - D) \cdot B_2$$

$$C = D \cdot C_1 + (1 - D) \cdot C_2$$

$$G_{\tilde{d}} = V_{IN}(C_2 - C_1)(A^{-1}B) + V_{IN}C(sI_d - A)^{-1}[(A_2 - A_1)(A^{-1}B) + (B_1 - B_2)]$$

Modelado del modulador PWM:

MODULADOR PWM:

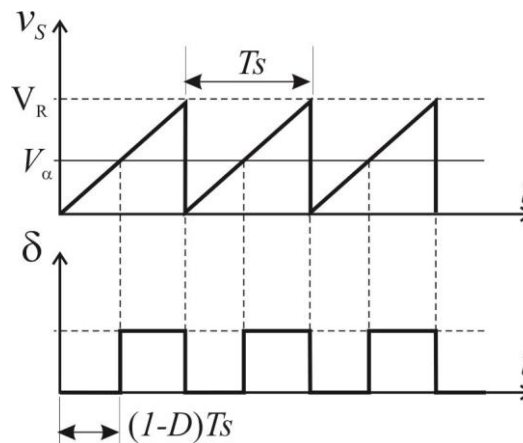
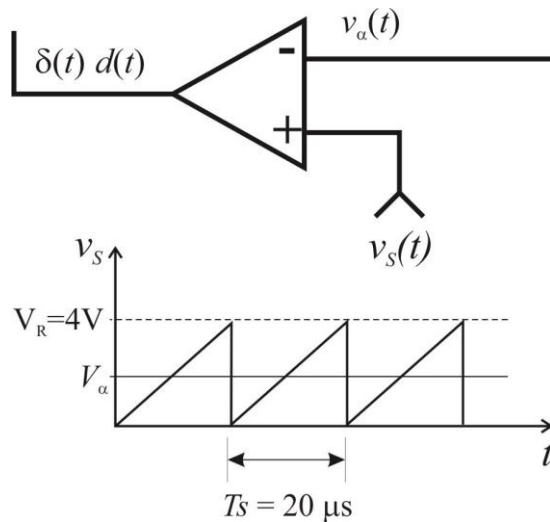


$$0 \leq V_{MOD} \leq V_R$$

GANANCIA DEL MODULADOR PWM

$$G_{MOD} = \frac{d(t)}{V_{MOD}} = \frac{1}{V_R}$$

G.U. Clase 12/11/20

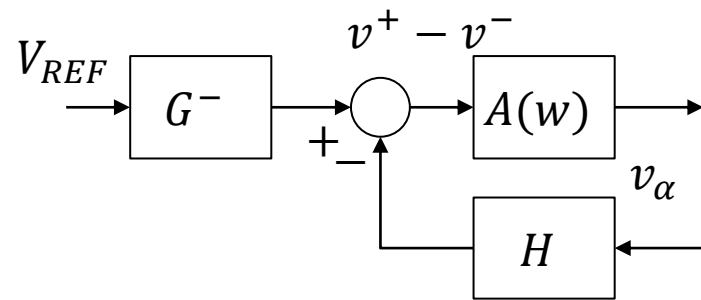
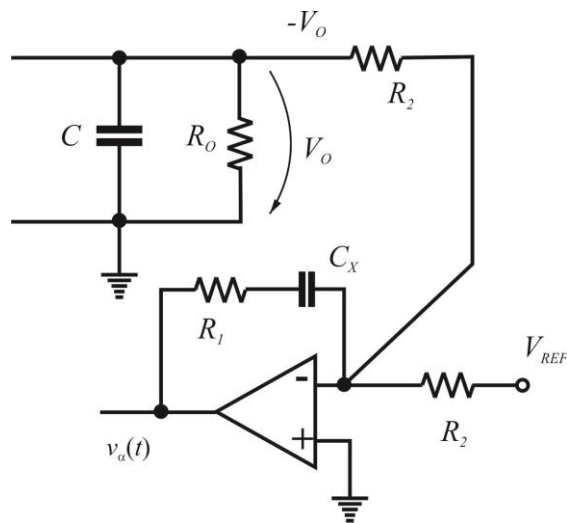


$$(1 - d(t)) = \frac{V_\alpha}{V_R}$$

$$d(t) = 1 - \frac{V_\alpha}{V_R}$$

$$G_{MOD} = \frac{\partial d(t)}{\partial V_\alpha} = -\frac{1}{V_R}$$

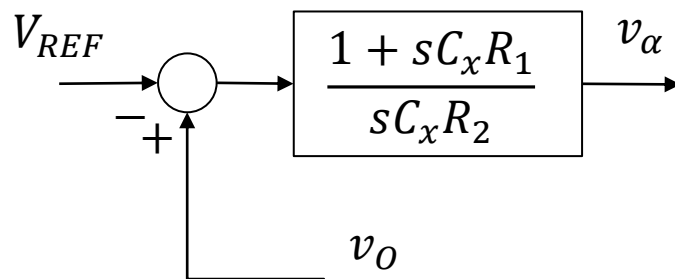
Modelado del compensador:



$$G^- = -\frac{v^-}{-v_o} = -\frac{v^-}{V_{REF}} = -\frac{1}{2} \cdot \frac{1 + sC_x R_1}{1 + sC_x (R_1 + R_2/2)}$$

$$H = \frac{v^-}{v_\alpha} = \frac{sC_x R_2/2}{1 + sC_x (R_1 + R_2/2)}$$

$$\frac{v_\alpha}{-v_o} = \frac{v_\alpha}{V_{REF}} = \frac{G^-}{H} = -\frac{1 + sC_x R_1}{sC_x R_2}$$



Compensador tipo PI

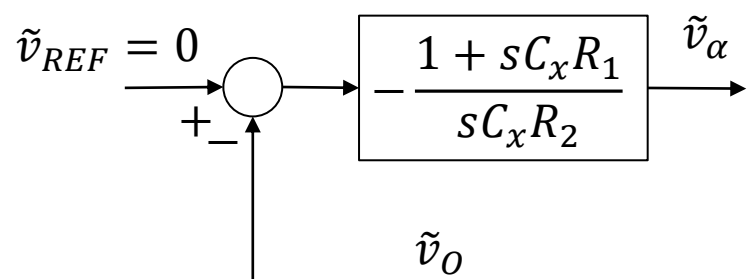
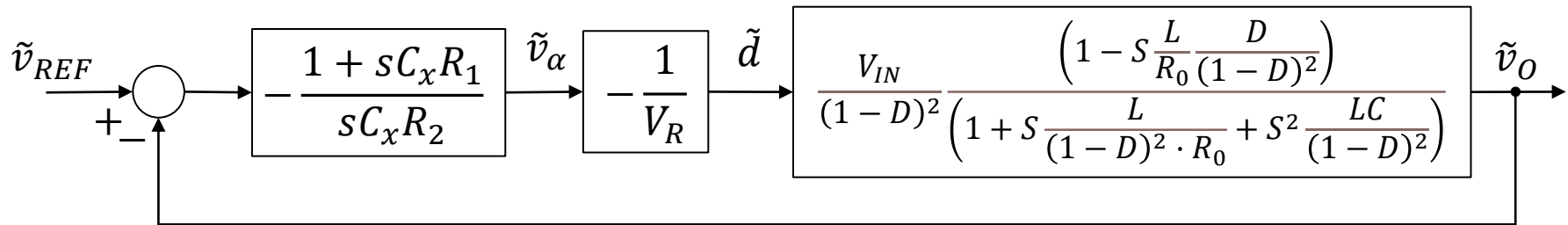


Diagrama en bloques:



Sistema tipo I $\Rightarrow V_O = V_{REF} = 5V$

Verificación CCM

Premisa: CCM $\Rightarrow i_L > 0 \forall t$

Condición crítica: $I_L = \frac{\Delta i_L}{2}$

$$L_C = \frac{R_O(1-D)^2 \cdot T_S}{2}$$

$$\begin{aligned} R_O &= 3\Omega \dots 30\Omega \\ L &= 250\mu H \quad C = 25\mu F \\ f_s &= 50\text{kHz} \\ V_{REF} &= 5V \quad V_{IN} = 5V \end{aligned}$$

$$\frac{V_O}{V_{IN}} = \frac{D}{1-D}$$

$$D = \frac{V_O}{V_O + V_{IN}} = \frac{5V}{5V + 5V} = \frac{1}{2}$$

Caso más exigente: $R_O = R_{Omax}$

$$L_C = \frac{R_{Omax}(1-D)^2 \cdot T_S}{2}$$

$$L_C = \frac{30\Omega}{2} \left(1 - \frac{1}{2}\right)^2 \frac{1}{50\text{kHz}} = 75\mu H$$

Análisis de $G_{\tilde{d}}$:

$$G_{\tilde{d}} = \frac{V_{IN}}{(1-D)^2} \frac{\left(1 - s \frac{L}{R_O} \frac{D}{(1-D)^2}\right)}{\left(1 + s \frac{L}{R_O} \frac{1}{(1-D)^2} + s^2 \frac{LC}{(1-D)^2}\right)} = \frac{G_0(1 - s/\omega_{Z1})}{(1 + s/\omega_{P1})(1 + s/\omega_{P2})} = \frac{G_0(1 - s/\omega_{Z1})}{\left(\frac{s}{\omega_{P12}}\right)^2 + \frac{1}{Q}\left(\frac{s}{\omega_{P12}}\right) + 1}$$

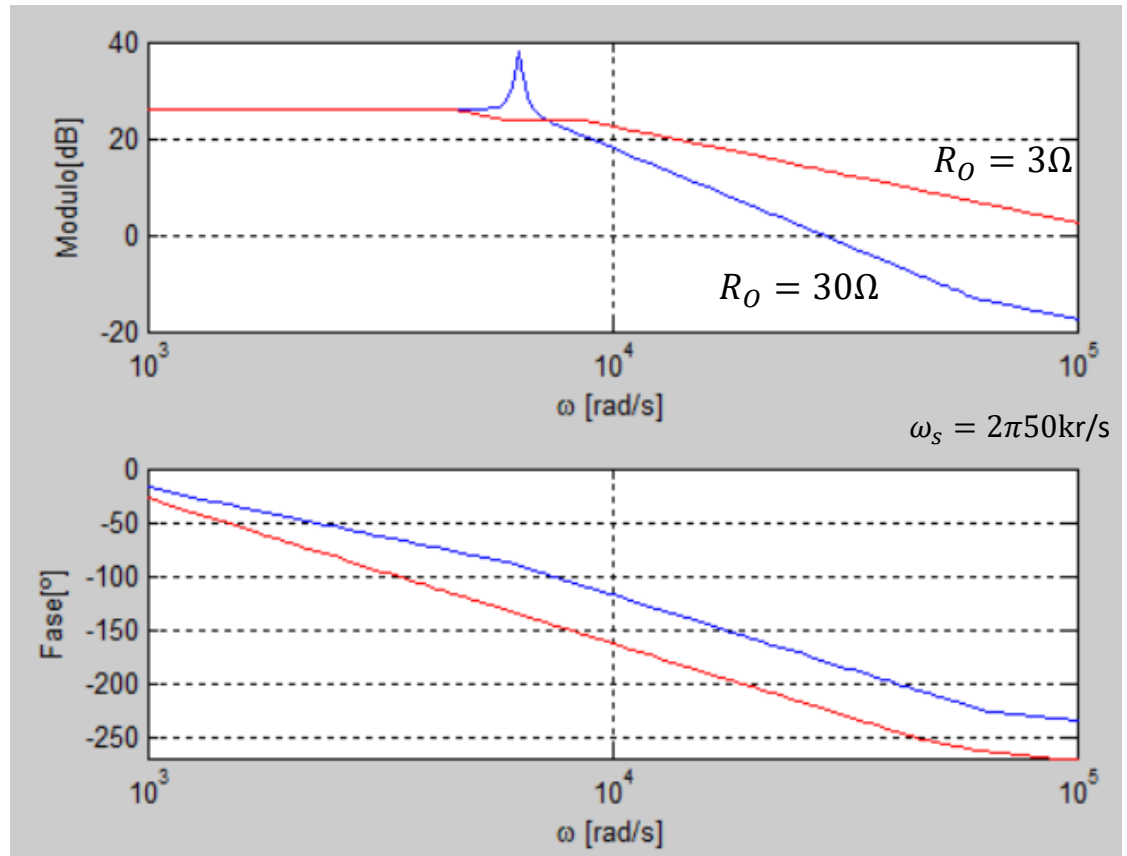
$$R_O = 30\Omega \quad \left\{ \begin{array}{l} G_0 = 20 \text{ (26dB)} \\ \omega_Z = 60000 \text{ rad/s} \\ \omega_{P12} = 666 \pm j6324 \text{ rad/s} \\ Q = 4,73 \text{ (13,5dB)} \end{array} \right.$$

Peor condición en amplitud!

$$R_O = 3\Omega \quad \left\{ \begin{array}{l} G_0 = 20 \text{ (26dB)} \\ \omega_Z = 6000 \text{ rad/s} \\ \omega_{P1} = 4560 \text{ rad/s} \\ \omega_{P2} = 8768 \text{ rad/s} \end{array} \right.$$

Peor condición en fase!

Bode de $G_{\tilde{d}}/1V$



Análisis de estabilidad (sin amortiguamiento):

$$G_{\tilde{d}} = \frac{V_{IN}}{(1-D)^2} \frac{\left(1 - s \frac{L}{R_O} \frac{D}{(1-D)^2}\right)}{\left(1 + s \frac{L}{R_O} \frac{1}{(1-D)^2} + s^2 \frac{LC}{(1-D)^2}\right)} = \frac{G_0(1 - s/\omega_{Z1})}{(1 + s/\omega_{P1})(1 + s/\omega_{P2})} = \frac{G_0(1 - s/\omega_{Z1})}{\left(\frac{s}{\omega_{P12}}\right)^2 + \frac{1}{Q}\left(\frac{s}{\omega_{P12}}\right) + 1}$$

$$R_O = 30\Omega \quad \begin{cases} G_0 = 20 \text{ (26dB)} \\ \omega_Z = 60000 \text{ rad/s} \\ \omega_{P12} = 666 \pm j6324 \text{ rad/s} \\ Q = 4,73 \text{ (13,5dB)} \end{cases}$$

$$R_O = 3\Omega \quad \begin{cases} G_0 = 20 \text{ (26dB)} \\ \omega_Z = 6000 \text{ rad/s} \\ \omega_{P1} = 4560 \text{ rad/s} \\ \omega_{P2} = 8768 \text{ rad/s} \end{cases}$$

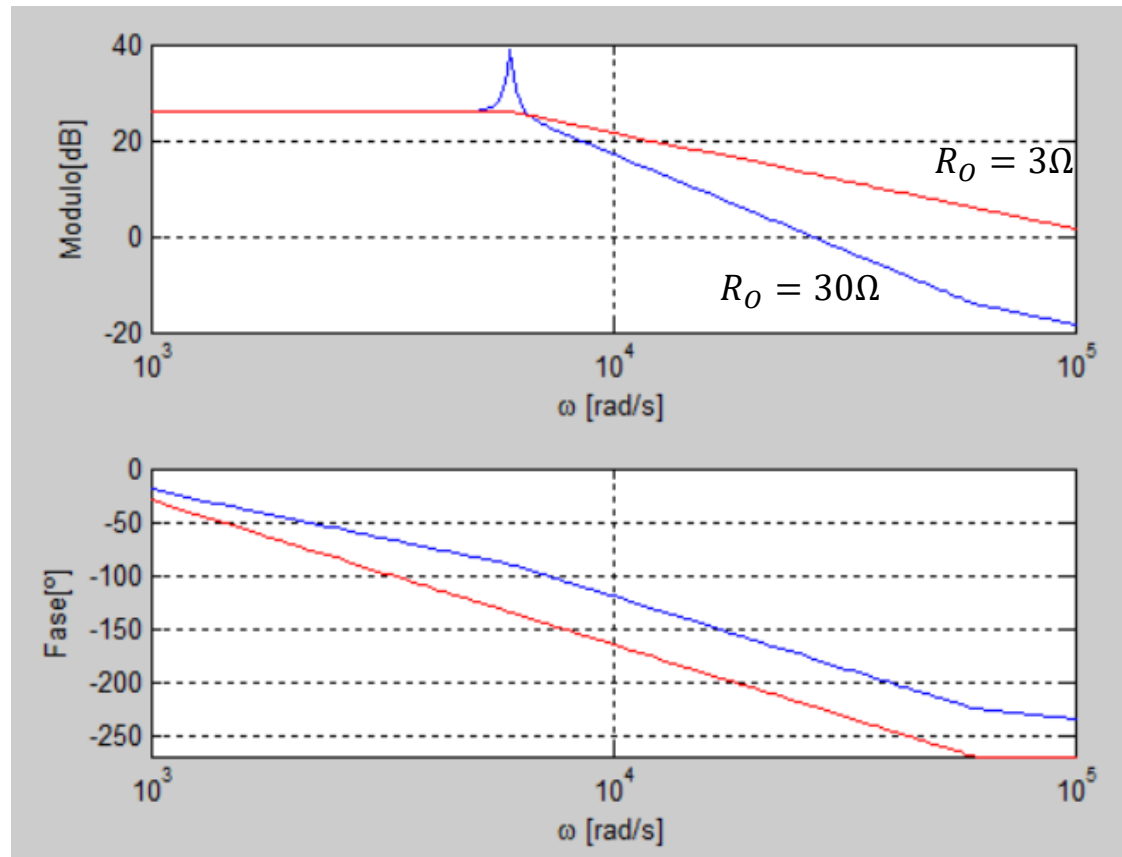
Simplificación transitoria del problema

$$R_O = 30\Omega \quad \begin{cases} G_0 = 26 \text{ dB} \\ \omega_Z = 60000 \text{ rad/s} \\ |\omega_{P12}| \approx 6000 \text{ rad/s} \\ Q \approx 13 \text{ dB} \end{cases}$$

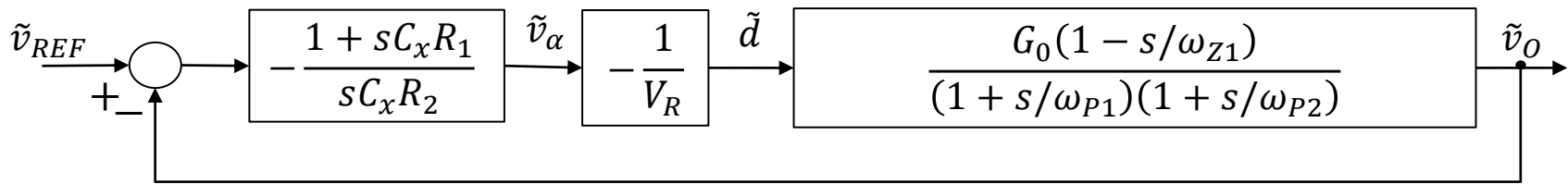
$$R_O = 3\Omega \quad \begin{cases} G_0 = 26 \text{ dB} \\ \omega_Z \approx 6000 \text{ rad/s} \\ \omega_{P1} \approx 6000 \text{ rad/s} \\ \omega_{P2} \approx 6000 \text{ rad/s} \end{cases}$$

Verificaremos al finalizar!

Bode de $G_{\tilde{d}}/1V$ simplificado



Análisis de estabilidad (sin amortiguamiento):



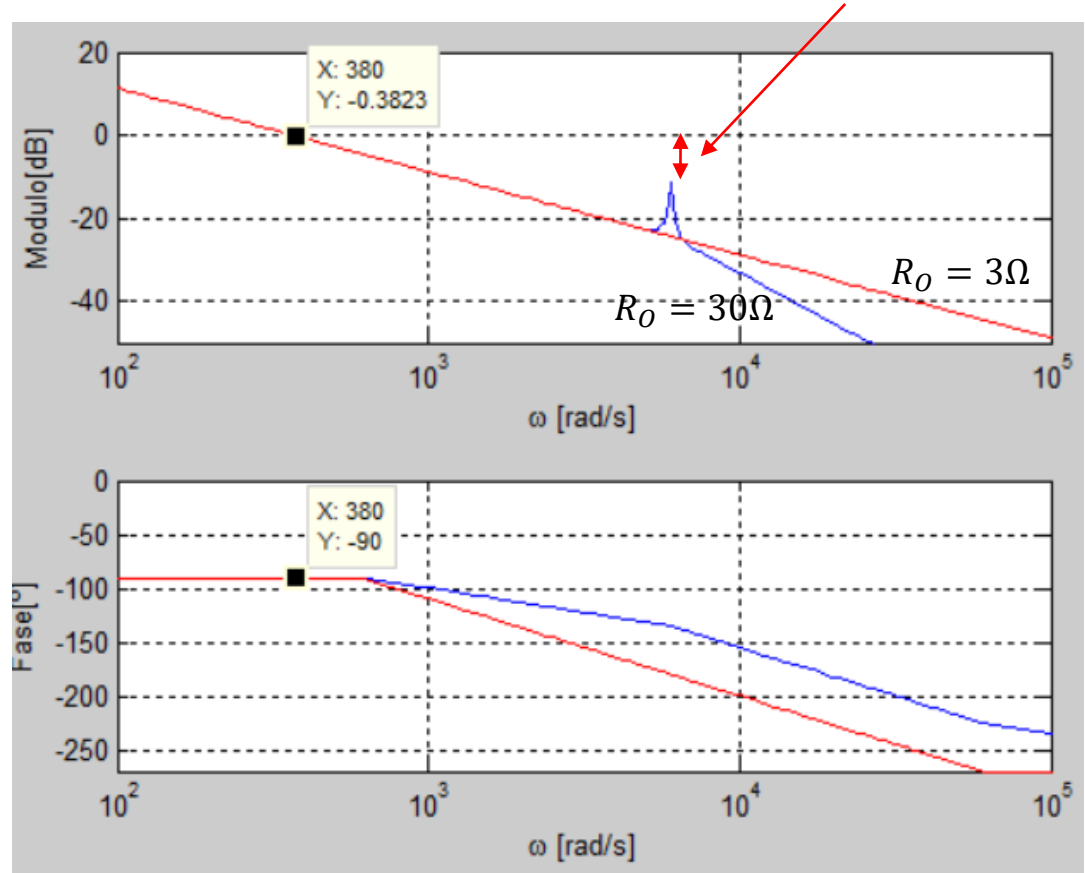
Ajuste del PI:
 Polo para garantizar
 sobrepico debajo de 0dB
 Cero para compensar
 uno de los polos.

$$\frac{1 + sC_x R_1}{sC_x R_2} = \frac{V_R/G_0}{5,5 \cdot 3} \cdot \frac{1 + \frac{s}{6\text{krad}}}{\frac{s}{6\text{krad}}}$$

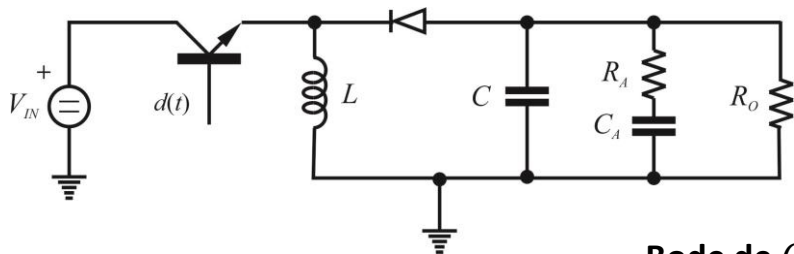
(13dB)
(10dB)

Margen de fase = 90° en
 ambos casos.
 El caso de R_{Omax} resulta
 más restrictivo!!

Bode de GH

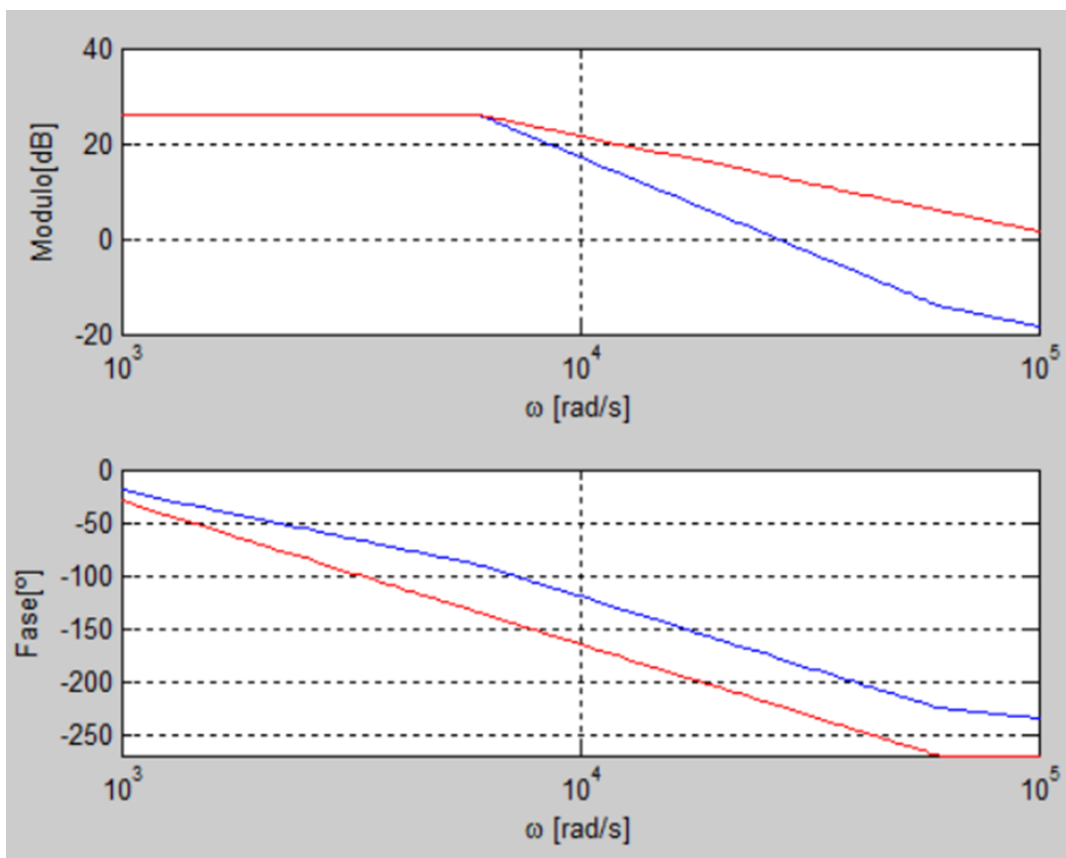


Análisis de estabilidad (con amortiguamiento):

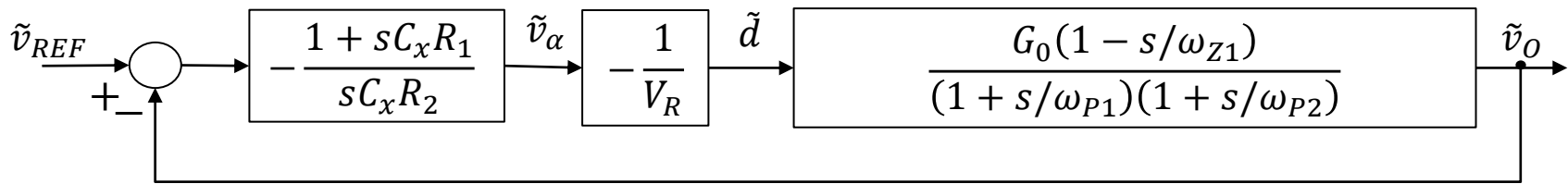


Bode de $G_{\tilde{d}}/1V$ amortiguado

Asumimos por el momento que podemos eliminar el sobrepico sin modificar el resto de las transferencias!



Análisis de estabilidad (sin amortiguamiento):



Bode de GH con $G_{\tilde{d}}/1V$ amortiguado

PI con ganancia ajustada para $R_O = 30\Omega$

$$\frac{1 + sC_x R_1}{sC_x R_2} = \frac{V_R}{G_0} \cdot \frac{1 + \frac{s}{6\text{krad}}}{\frac{s}{6\text{krad}}}$$

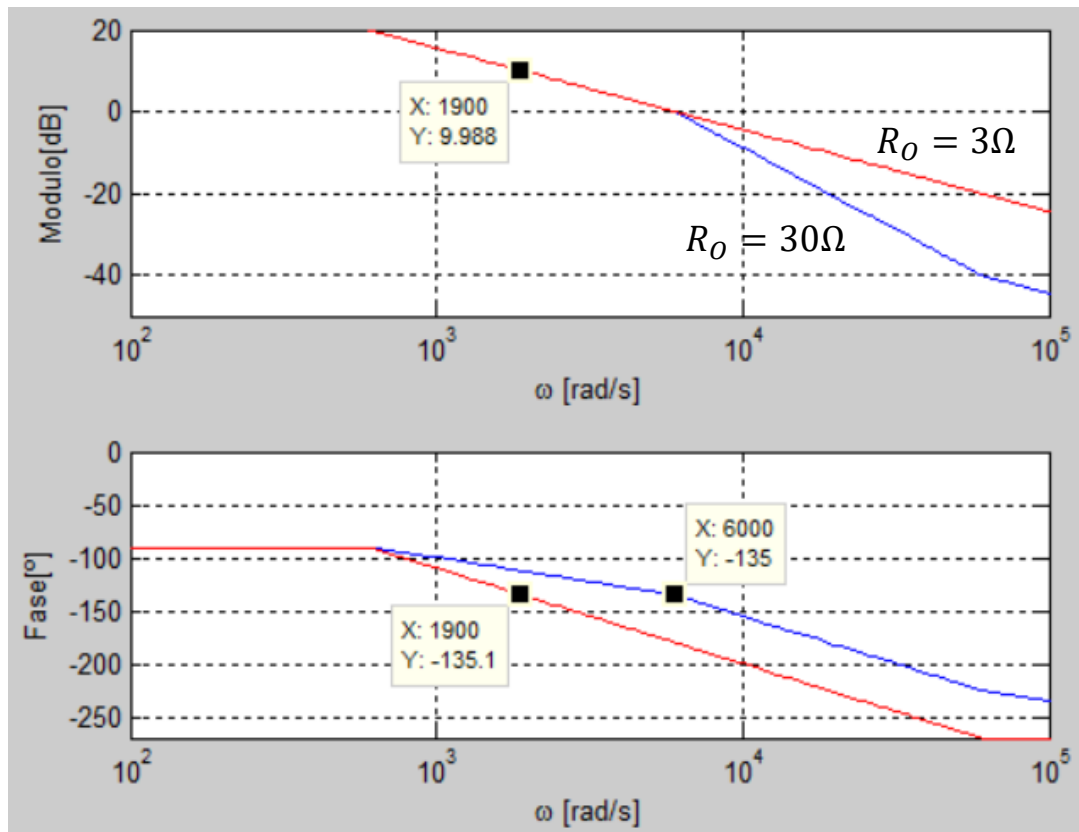
$$R_O = 30\Omega$$

$$\varphi_{GH} = -90 - \text{argtg}\left(\frac{\omega_X}{6\text{krad}}\right)$$

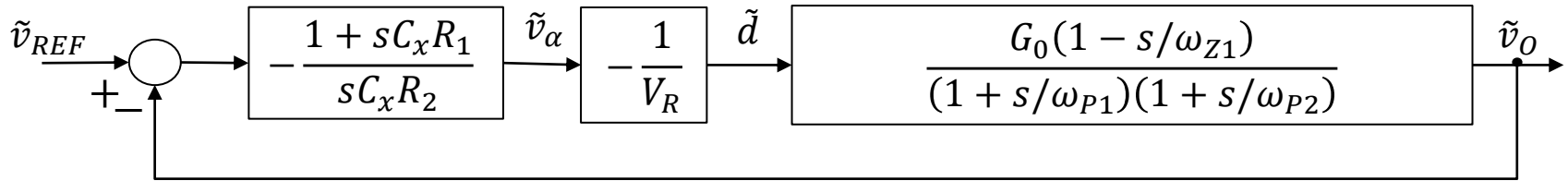
$$R_O = 3\Omega$$

$$\varphi_{GH} = -90 - 2 \cdot \text{argtg}\left(\frac{\omega_X}{6\text{krad}}\right)$$

El caso de R_{Omin} resulta más restrictivo!!



Análisis de estabilidad (sin amortiguamiento):



Bode de GH con $G_{\tilde{d}}/1V$ amortiguado

PI con ganancia ajustada para $R_O = 3\Omega$

$$\frac{1 + sC_x R_1}{sC_x R_2} = \frac{V_R}{3 \cdot G_0} \cdot \frac{1 + \frac{s}{6\text{krad}}}{\frac{s}{6\text{krad}}}$$

(10dB)

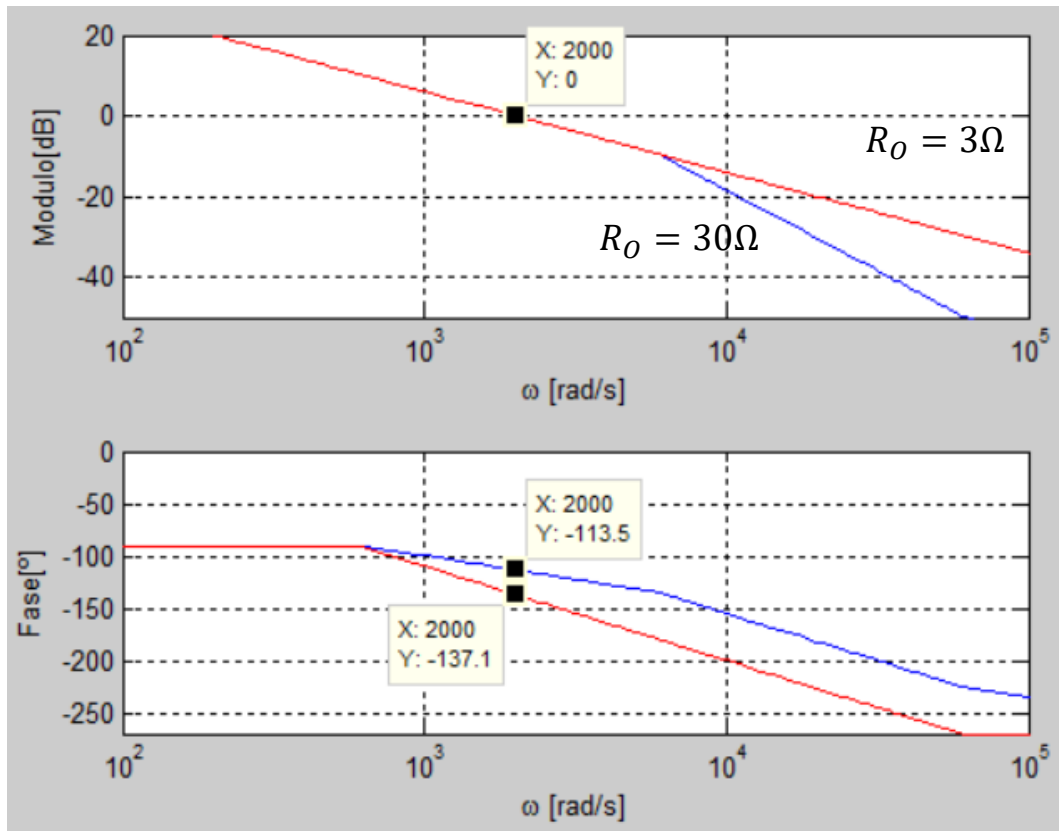
$$R_O = 30\Omega \quad \Rightarrow \quad MF = 66,5^\circ$$

$$R_O = 3\Omega \quad \Rightarrow \quad MF = 42,9^\circ$$

$$\frac{1 + sC_x R_1}{sC_x R_2} = \frac{1 + \frac{s}{6\text{krad}}}{\frac{s}{400\text{rad}}}$$

$$C_x = 2\mu F \quad \Rightarrow \quad R_1 = 83,3\Omega \quad R_2 = 1,25\text{k}\Omega$$

Adopto $R_1 = 100\Omega$ y $R_2 = 1,5\text{k}\Omega$

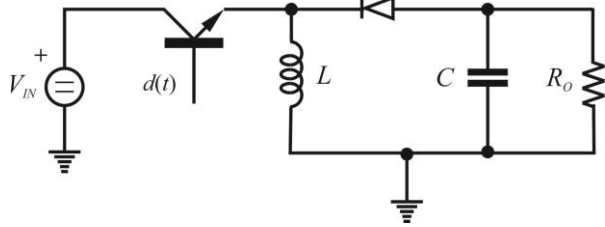


Convertidores conmutados DC/DC

<http://campus.fi.mdp.edu.ar/>



Cálculo de la red de amortiguamiento:



$$\left(1 + s \frac{L}{R_O} \frac{1}{(1-D)^2} + s^2 \frac{LC}{(1-D)^2}\right) = \left(\frac{s}{\omega_{P12}}\right)^2 + \frac{1}{Q} \left(\frac{s}{\omega_{P12}}\right) + 1$$

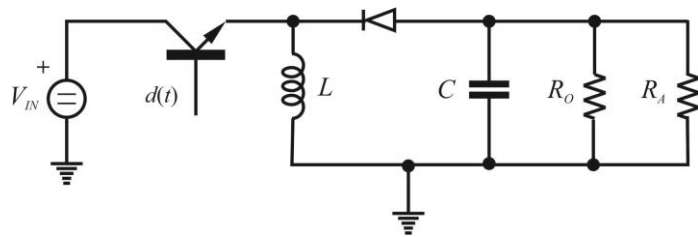
$$\omega_{P12} = \sqrt{\frac{(1-D)^2}{LC}}$$

$$Q = \frac{(1-D)^2}{\omega_{P12}} \cdot \frac{R_O}{L} = R_O(1-D) \sqrt{\frac{C}{L}}$$

Cálculo de R_O para transferencia monótonamente decreciente:

$$Q = \frac{1}{\sqrt{2}} \Rightarrow R_{Omd} = \frac{1}{\sqrt{2}} \cdot \frac{1}{1-D} \sqrt{\frac{L}{C}} = 4,47\Omega$$

Amortiguamiento sólo con resistencia R_A :

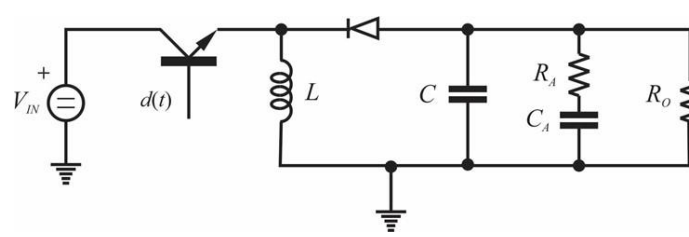


$$R_A // R_{Omax} = R_{Omd}$$



$$R_A = 5,25\Omega$$

Amortiguamiento con R_A y C_A :



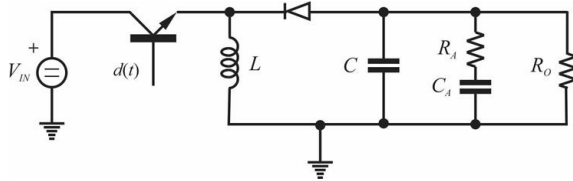
$$R_A = 2,7\Omega$$

$$C_A = 68\mu F$$

$$Z_A(\omega_{P12}) = 5,25\Omega \Rightarrow \begin{cases} R_A = 5,25\Omega/2 \\ \frac{1}{\omega_{P12}C_A} = 5,25\Omega/2 \end{cases}$$

Verificación del cálculo de la red de amortiguamiento:

El sobrepico no fue completamente eliminado

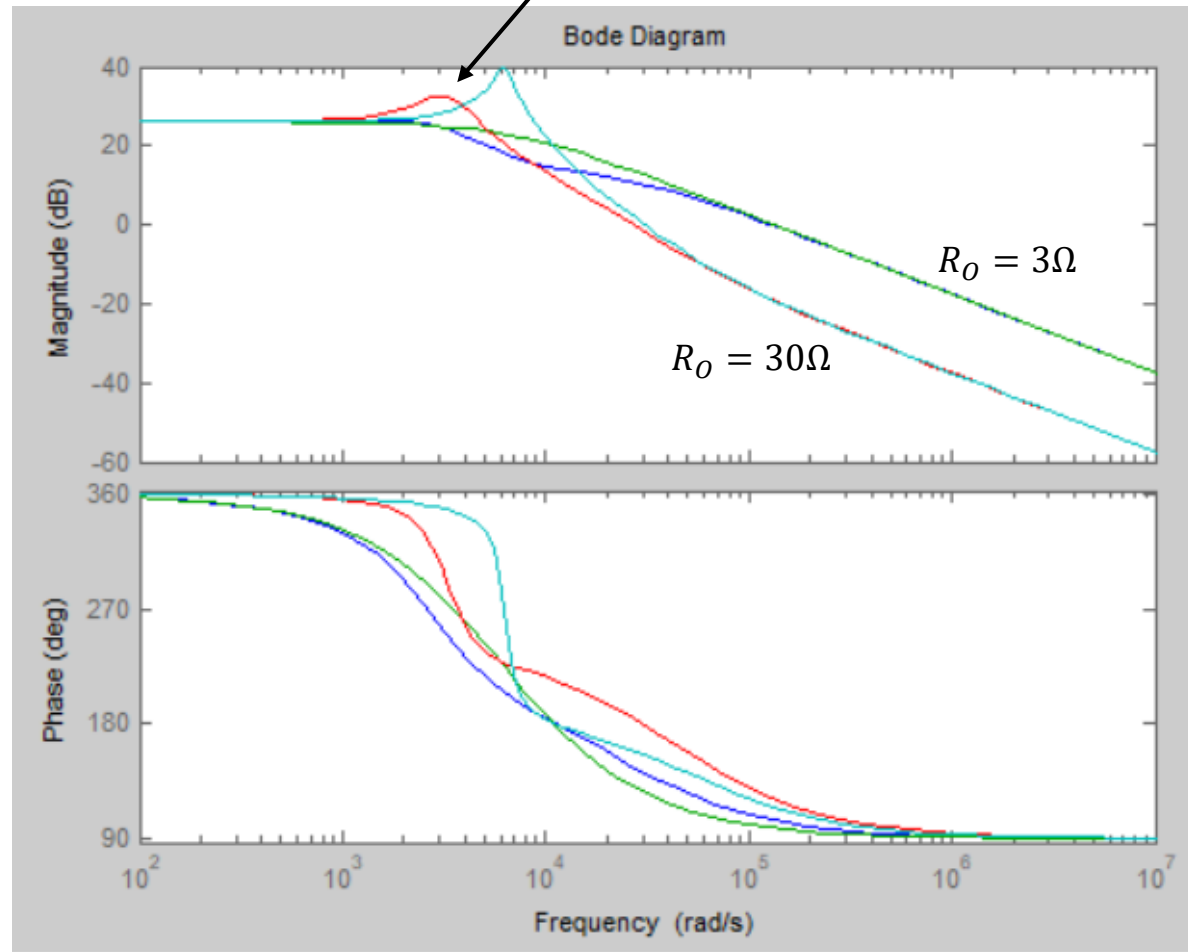


Modelo de estados
promediado de 3er orden

Cálculo de ecuación de $G_{\tilde{d}}$

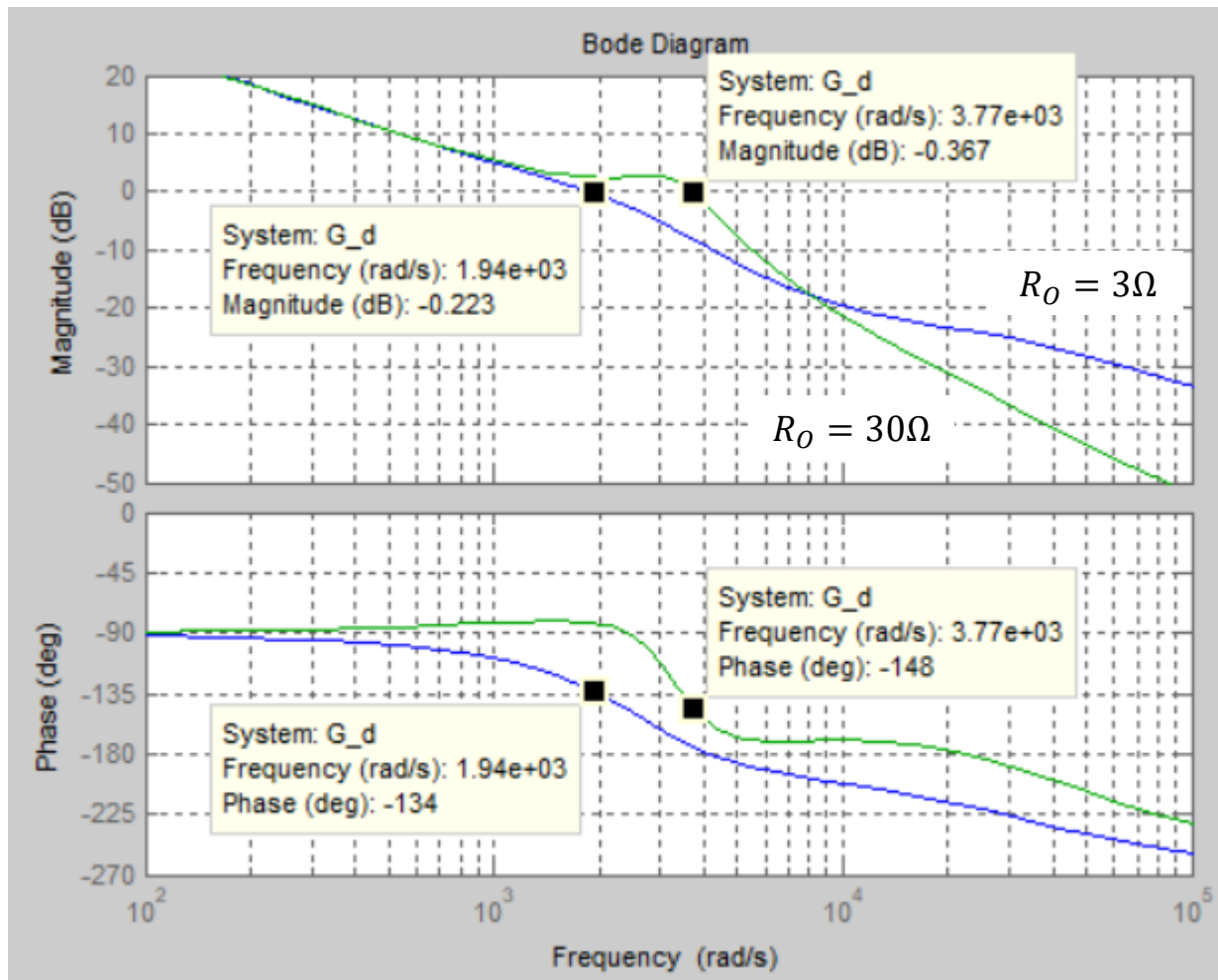
Evaluación para diferentes R_O y
casos con y sin amortiguamiento.

Bode de $G_{\tilde{d}}/1V$



Verificación del análisis de estabilidad (con amortiguamiento):

Bode de GH



A causa del residuo del sobrepico, la frecuencia de corte aumentó para el caso de R_{Omax} .



El caso de R_{Omax} resulta nuevamente más restrictivo!!